

Fenchel's theorem for wave fronts

横浜国立大学大学院理工学府
山内優太 (Yuta YAMAUCHI)
Graduate School of Engineering Science,
Yokohama National University *

概要

本稿では n 次元ユークリッド空間 \mathbf{R}^n 内の 1 次元波面に対する Fenchel の定理の拡張について紹介する。我々は \mathbf{R}^n 内の余向き付け不可能な 1 次元フロンタルの絶対全曲率が π 以上であり、等号が成立するのはフロンタルが平面曲線であり locally L -convexかつ回転数が $\pm \frac{1}{2}$ である時に限ることを証明した。さらに波面の絶対全曲率が π 、特異点を全てカスプとしてその数を N とした時、 N は 3 以上の奇数となり $N = 3$ であることと波面が単純閉曲線であることは同値となる。本稿の内容は田中千紗氏 (NTT データフロンティア) と本田淳史氏 (横浜国立大学) との共同研究 [3] に基づく。

1 導入

n を 2 以上の整数とする。周期 2π の正則閉曲線 $\gamma : \mathbf{R} \rightarrow \mathbf{R}^n$ に対して、

$$K(\gamma) = \int_0^{2\pi} k \, ds \quad (ds = \|\gamma'(t)\| dt)$$

を絶対全曲率、あるいは単に全曲率という。ここで、 k は γ の曲率関数であり、 $\gamma'(t) = d\gamma(t)/dt$ とする。Fenchel の定理 ([1, 14]) より、全曲率 $K(\gamma)$ は 2π 以上であり、 $K(\gamma) = 2\pi$ が成り立つための必要十分条件は γ が平面曲線かつ卵形線である。これまで Fenchel の定理の様々な一般化が得られてきた: 結び目 [11, 12], 非正曲率リーマン多様体 [20, 7], 球面 [5, 6], 閉曲線 [13], ミンコフスキ空間 [2], CAT(κ) 空間 [4]。

一方、特異点を持つ閉曲線には全曲率を定義する事ができるものが存在する。したがって、このような曲線の全曲率に対しても Fenchel 型定理が成り立つのではないかと考えた。本稿ではこのような曲線としてフロンタル及び波面を取り挙げ、それらの全曲率に対する Fenchel 型定理を紹介する。

2 準備

ベクトル $\mathbf{a}, \mathbf{b} \in \mathbf{R}^n$ に対して $\langle \mathbf{a}, \mathbf{b} \rangle$ で通常の内積を表す。ベクトルの大きさ (ノルム) は $\mathbf{a} := (a_1, a_2, \dots, a_n)$ に対して

$$\|\mathbf{a}\| := \sqrt{\langle \mathbf{a}, \mathbf{a} \rangle} = \sqrt{(a_1)^2 + (a_2)^2 + \dots + (a_n)^2}$$

*E-mail: yamauchi-yuta-hj@ynu.jp

で定義される。

開区間 I 上で定義された C^∞ 級写像 $\gamma : I \rightarrow \mathbf{R}^n$ に対し, $\gamma'(c) = \mathbf{0}$ となるような点 $t = c$ を**特異点**といい, $\gamma'(c) \neq \mathbf{0}$ となるような点 $t = c$ を**正則点**という。ここで, プライムは t による微分を表す ($' = d/dt$)。 I の部分集合 $\text{Reg}(\gamma)$ を γ の正則点集合とする。また, S^{n-1} を单位球面

$$S^{n-1} = \{(x_1, x_2, \dots, x_n) \in \mathbf{R}^n \mid (x_1)^2 + (x_2)^2 + \dots + (x_n)^2 = 1\}$$

とする。

定義 2.1. 区間 I に対し, 正則点集合が稠密である C^∞ 級写像 $\gamma : I \rightarrow \mathbf{R}^n$ が**フロンタル**であるとは, C^∞ 級写像 $e : I \rightarrow S^{n-1}$ が存在し $\gamma'(t)$ と $e(t)$ が線形従属であることをいう。特にこの e を γ の**単位接ベクトル場**という。

フロンタル $\gamma : I \rightarrow \mathbf{R}^n$ が $\gamma'(t) = \mathbf{0}$, つまり t が特異点である時, $e'(t) \neq \mathbf{0}$ が成り立つならば, γ を**波面**と呼ぶ。

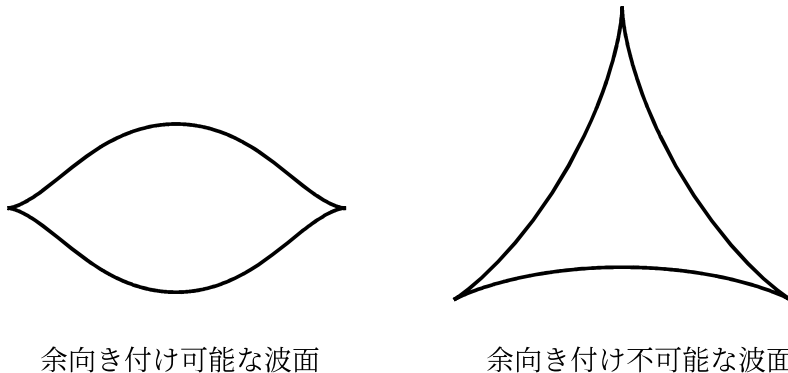
定義 2.2. ある正の実数 ℓ が存在して, フロンタル $\gamma : \mathbf{R} \rightarrow \mathbf{R}^n$ が $t \in \mathbf{R}$ に対して $\gamma(t) = \gamma(t + \ell)$ を満たす時, γ は**閉フロンタル**であるという。この時, 最小の ℓ を**周期**と呼ぶ。

パラメータを定数倍することで, 一般性を失うことなく周期を 2π として良い。したがって, このような γ の定義域は $S^1 \cong \mathbf{R}/2\pi\mathbf{Z}$ とみなされる。

定義 2.3. 周期 2π の閉フロンタル γ に沿う単位接ベクトル場 $e : \mathbf{R} \rightarrow S^{n-1}$ が

- (i) $e(t + 2\pi) = e(t)$ を満たす時, γ を**余向き付け可能な閉フロンタル**と呼ぶ。
- (ii) $e(t + 2\pi) = -e(t)$ を満たすとき, γ を**余向き付け不可能な閉フロンタル**という。

任意の $a \in \mathbf{R}$ に対し, γ の $[a, a + 2\pi]$ への制限で閉フロンタルを表すこととする。



定義 2.4. フロンタル $\gamma : I \rightarrow \mathbf{R}^n$ に対し, 曲率関数 k を正則点上で

$$k = \frac{\sqrt{\|\gamma'\|^2 \|\gamma''\|^2 - \langle \gamma', \gamma'' \rangle^2}}{\|\gamma'\|^3}$$

によって定める。

この時 e を γ に沿う単位接ベクトル場とすると, k は

$$k(t) \|\gamma'(t)\| = \|e'(t)\|$$

と表される。一般に, 曲率関数 κ は特異点にて発散する。しかし, 次の命題が成り立つので全曲率を定めることができる。

命題 2.5. 閉区間 I で定義されたフロンタル $\gamma : I \rightarrow \mathbf{R}^n$ に対し, s を γ の $\text{Reg}(\gamma)$ 上の弧長パラメータとする. この時, $k ds$ は特異点を越えて I 上で連続な 1 次微分形式に拡張される.

証明. $k = \|e'\|/\|\gamma'\|$, $ds = \|\gamma'\|dt$ より,

$$k ds = \frac{\|e'\|}{\|\gamma'\|} \|\gamma'\| dt = \left\| \frac{d}{dt} e \right\| dt$$

と表される. e は C^∞ 級写像なので, 右辺の式は連続な微分形式となる. \square

定義 2.6. 有界閉区間 $I = [a, b]$ で定義されたフロンタル $\gamma : I \rightarrow \mathbf{R}^n$ に対して

$$K(\gamma) = \int_a^b k ds$$

と定める. $K(\gamma)$ を γ の**全曲率**という.

全曲率に対し, 直ちに以下の系が導かれる.

系 2.7. 有界閉区間 $I = [a, b]$ で定義されたフロンタル $\gamma : I \rightarrow \mathbf{R}^n$ に対して, その単位接ベクトル場 e の移動距離

$$\mathcal{L} = \int_a^b \left\| \frac{d}{dt} e \right\| dt$$

は, 全曲率と一致する.

定義 2.8. フロンタル $\gamma : I \rightarrow \mathbf{R}^2$ に対し, 向き付け曲率関数 κ を正則点上で

$$\kappa = \frac{\det(\gamma', \gamma'')}{\|\gamma'\|^3}$$

で定める.

\mathbf{R}^2 内の余向き付け不可能な閉フロンタル $\gamma(t)$ に対し, その単位接ベクトル場 $e(t) : [0, 2\pi] \rightarrow S^1$ は

$$e(t) = \begin{pmatrix} \cos \theta(t) \\ \sin \theta(t) \end{pmatrix}$$

と表すことが出来る. γ は余向き付け不可能なので $e(\ell) = -e(0)$ が成り立つ. したがって, ある整数 $m \in \mathbf{Z}$ が存在して

$$\theta(\ell) - \theta(0) = (2m + 1)\pi = 2 \left(m + \frac{1}{2} \right) \pi$$

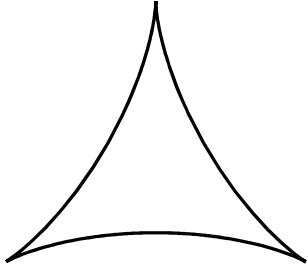
となる.

定義 2.9. $m + \frac{1}{2}$ を余向き付け不可能な閉フロンタル γ の**回転数**と呼ぶ.

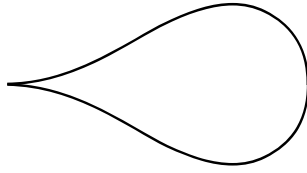
次に定義する locally L -convex とは, 凸性のフロンタルへの拡張である.

定義 2.10. \mathbf{R}^2 内のフロンタル γ が locally L -convex であるとは, $\tilde{\kappa} = \det(e, e')$ が常に $\tilde{\kappa} \geq 0$ または常に $\tilde{\kappa} \leq 0$ を満たすことをいう.

$(\tilde{\kappa}(t), \langle \gamma'(t), e(t) \rangle)$ の組はルジャンドル曲率として Fukunaga-Takahashi [18] で導入された. 曲率関数 κ は $\kappa = \tilde{\kappa}/\|\gamma'\|$ と表されるため, 正則点においては, locally L -convex であることと κ が符号を変えないことは同値である.



locally L -convex である



locally L -convex ではない

3 主結果 1

単位球面 S^{n-1} と \mathbf{R}^n 内の $(n - 1)$ 次元部分空間の共通部分を**大超球面**と呼ぶ.

補題 3.1 ([10]). 単位球面 S^{n-1} 内の C^1 級の閉曲線 $c : S^1 \rightarrow S^{n-1}$ の長さを $\mathcal{L}(c)$ とする. c の像を Γ とするとき, 任意の大超球面 G と Γ が共有点を持つならば,

$$\mathcal{L}(c) \geq 2\pi$$

が成り立つ. また, 等号が成り立つならば Γ は二つの大円の半円弧で構成される.

命題 3.2 ([3]). $\gamma : [0, 2\pi] \rightarrow \mathbf{R}^n$ を余向き付け不可能な閉フロンタルとする. γ に沿う単位接ベクトル場を $e : [0, 2\pi] \rightarrow S^{n-1}$ とし, e が S^{n-1} 上に描く曲線を Γ とする. この時, S^{n-1} 上の任意の大超球面 G と Γ は交点を持つ.

証明. 大超球面 G に対し, ある $\xi \in S^{n-1}$ が存在し,

$$G = \{x \in S^{n-1} \mid \langle x, \xi \rangle = 0\}$$

と表される. したがって, G と Γ が交点を持つことと, ある $t_0 \in [0, 2\pi]$ が存在して $\langle e(t_0), \xi \rangle = 0$ となることは同値である. ここで, $f : [0, 2\pi] \rightarrow \mathbf{R}$ を $f(t) = \langle e(t), \xi \rangle$ と定める. f は連続な関数になる. γ は余向き付け不可能な閉フロンタルであるため, $e(0) = -e(2\pi)$ となる. よって $f(0) = -f(2\pi)$ が成り立つ. もし $f(0) = 0$ ならば $e(0) \in G$ が成り立つので. G と Γ は交点を持つ. $f(0) \neq 0$ ならば $f(0)$ と $f(2\pi)$ は異符号なので, 中間値の定理よりある点 $t_0 \in [0, 2\pi]$ が存在して $f(t_0) = 0$ を満たす. したがって, $e(t_0) \in G$ が成り立つので. G と Γ は交点を持つ. \square

我々は \mathbf{R}^n 内の閉フロンタルの全曲率に関して, 次の定理 3.3 を示した.

定理 3.3 ([3]). $\gamma : [0, 2\pi] \rightarrow \mathbf{R}^n$ を余向き付け不可能な閉フロンタルとする. この時,

$$K(\gamma) \geq \pi$$

が成り立つ. 等号が成り立つのは

- (1) 閉フロンタルが 2 次元部分空間に含まれる
- (2) *locally L-convex* である
- (3) 回転数が $\pm \frac{1}{2}$

が成り立つ時に限る。

証明. γ 及び単位接ベクトル場 e の定義域を $[0, 2\pi]$ から $[0, 4\pi]$ へと拡張したものをそれぞれ $\tilde{\gamma}$, \tilde{e} とすると, \tilde{e} の描く曲線 $\tilde{\Gamma}$ は S^{n-1} 上の閉曲線となる。命題 3.2 より, \tilde{e} の描く曲線 $\tilde{\Gamma}$ は S^{n-1} 上の任意の大超球面と交点を持つ。よって補題 3.1 より,

$$K(\tilde{\gamma}) \geq 2\pi$$

が成り立ち, $K(\tilde{\gamma}) = 2K(\gamma)$ が成り立つので,

$$K(\gamma) \geq \pi$$

が導かれる。等号成立条件は $\tilde{\Gamma}$ が大円である, つまり Γ が大円の半分部分である。よって γ は 2 次元部分空間内に含まれ, かつ回転数が $\pm \frac{1}{2}$ となる。

最後に等号が成り立つとき γ が locally L -convex であることを示す。 $\tilde{\kappa}(t) = \kappa(t)\|\gamma'(t)\|$ より, 全曲率は $\tilde{\kappa}$ を使って以下のように表すことが出来る。

$$K(\gamma) = \int_0^{2\pi} |\tilde{\kappa}(t)| dt$$

一方, 回転数が $\pm \frac{1}{2}$ であるので $|\theta(\ell) - \theta(0)| = \pi$ である。したがって, 次の式が成り立つ。

$$\left| \int_0^{2\pi} \tilde{\kappa}(t) dt \right| = \left| \int_0^{2\pi} \theta'(t) dt \right| = |[\theta(t)]_0^\ell| = \pi.$$

いま全曲率が π であるので,

$$\int_0^{2\pi} |\tilde{\kappa}(t)| dt = \left| \int_0^{2\pi} \tilde{\kappa}(t) dt \right|$$

となる。よって $t \in [0, 2\pi]$ に対して常に $\tilde{\kappa}(t) \geq 0$ または $\tilde{\kappa}(t) \leq 0$ となる。したがって γ は locally L -convex である。□

4 主結果 2

正則曲線の場合, 最小全曲率を持つならばその曲線は単純閉曲線となる。しかし, 最小全曲率を持つ余向き付け不可能な閉フロンタルには自己交差を持つものが存在する(図 5)。したがって, いつ自己交差を持たなくなるのかというのが疑問となる。我々は特異点が全てカスプの場合の時の結果を定理 4.8 として示した。

定義 4.1. 平面曲線 $\gamma(t)(a < t < b)$ において $t = c$ が特異点であるとする。もしも, 曲線の適當な(向きを保つ)助変数の取り替え $t = t(s)(c = t(0))$ と $\gamma(c)$ の近傍から原点 $(0, 0)$ の近傍への \mathbf{R}^2 の(局所)微分同相写像 Φ が存在して

$$\Phi \circ \gamma(t(s)) = (s^2, s^3)$$

と表すことができるとき, 平面曲線 $\gamma(t)$ は $t = c$ にカスプをもつ, あるいは, $t = c$ は $\gamma(t)$ のカスプであるという。

次の補題 4.2, 補題 4.6 及び補題 4.7 は定理 4.8 の証明で用いるものである。

補題 4.2 ([8, Proposition 3.21]). $a, b \in \mathbf{R}, a < b$ とする. 波面 $\gamma : [a, b] \rightarrow \mathbf{R}^2$ は

- $\gamma(a) = \gamma(b)$ であり
- (a, b) の点は全て正則点

を満たすとする. このとき, $K(\gamma) > \pi$ が成り立つ.

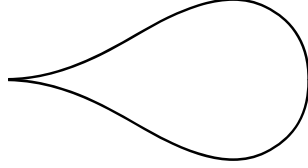


図 1: 端点が一致し, かつ (a, b) 上に特異点が存在しないフロンタル

定義 4.3. 正則点集合 $\text{Reg}(\gamma)$ 上で定義される写像 $\hat{e} : \text{Reg}(\gamma) \rightarrow S^1$

$$\hat{e}(t) := \frac{\gamma'(t)}{\|\gamma'(t)\|} \quad (t \in \text{Reg}(\gamma))$$

を γ の向き付き単位接ベクトル場と呼ぶ.

定義 4.4. 有界閉区間 $[a, b]$ で定義されたフロンタル $\gamma : [a, b] \rightarrow \mathbf{R}^2$ は内部に有限個の特異点をもつとする. γ の向き付き単位接ベクトル場 \hat{e} に対し, もし $t = a$ が γ の特異点ならば,

$$\hat{e}(a) := \lim_{t \rightarrow a+0} \hat{e}(t)$$

と定め, もし $t = b$ が γ の特異点ならば,

$$\hat{e}(b) := \lim_{t \rightarrow b-0} \hat{e}(t)$$

と定める.

定義 4.5. 有界閉区間 $[a, b]$ で定義されたフロンタル $\gamma : [a, b] \rightarrow \mathbf{R}^2$ は内部に有限個の特異点をもつとする. さらに, $\gamma(a) = \gamma(b)$ であるとする. このとき,

$$\varphi = \arccos(-\langle \hat{e}(a), \hat{e}(b) \rangle)$$

により定まる $\varphi \in [0, \pi]$ を γ の端点におけるなす角という.

補題 4.6 ([3]). $a, b \in \mathbf{R}, a < b$ とする. 波面 $\gamma : [a, b] \rightarrow \mathbf{R}^2$ は

- $\gamma(a) = \gamma(b)$ であり,
- $c \in (a, b)$ においてカスプをもち,
- $(a, c) \cup (c, b)$ の点は全て正則点

を満たすとする. $\varphi \in [0, \pi]$ を γ の端点におけるなす角とする. このとき, $K(\gamma) > \varphi$ が成り立つ.

補題 4.6 は高さ関数の臨界点による場合分けを用いて証明を行った(図 6, 図 7). 詳しくは [3] を参照せよ.

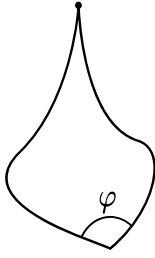


図 2: 端点が一致し, (a, b) 上にカスプが 1 つ存在するフロンタル

補題 4.7 ([3]). $a, b \in \mathbf{R}$, $a < b$ とする. 波面 $\gamma : [a, b] \rightarrow \mathbf{R}^2$ は

- $\gamma(a) = \gamma(b)$ であり,
- $c_1, c_2 \in (a, b)$ ($c_1 < c_2$) においてカスプをもち,
- $(a, c_1) \cup (c_1, c_2) \cup (c_2, b)$ の点は全て正則点

を満たすとする. $\varphi \in [0, \pi]$ を γ の端点におけるなす角とする. このとき, $K(\gamma) \geq \pi - \varphi$ が成り立つ.

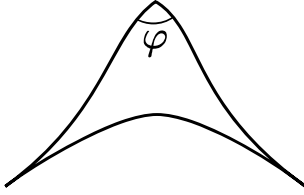


図 3: 端点が一致し, (a, b) 上にカスプが 2 つ存在するフロンタル

我々は最小全曲率を持つ閉波面の単純性について次の定理 4.8 を示した.

定理 4.8 ([3]). \mathbf{R}^2 の余向き付け不可能な閉波面 $\gamma(t)$ は最小全曲率 $K(\gamma) = \pi$ を持つとする. さらに γ の特異点は全てカスプとし, その個数を N とする. このとき, 次が成り立つ.

- (1) N は 3 以上の奇数である.
- (2) $N = 3$ であることと, $\gamma(t)$ が単純閉曲線であることは同値である.

(1) は補題 4.2 を用いて示すことができる. なぜなら, もし $N = 1$ ならば補題 4.2 より $K(\gamma) > \pi$ となり, 最小全曲率 $K(\gamma) = \pi$ を持つという仮定に反するからである.

(2) は $(N = 3) \Rightarrow (\gamma \text{ が単純})$ であること, $(N = 3) \Leftarrow (\gamma \text{ が単純})$ であることをそれぞれ個別に示した.

▷ (\Rightarrow) の場合 $t = 0, c_1, c_2$ ($0 < c_1 < c_2 < 2\pi$) をカスプとする. $\gamma : [0, 2\pi] \rightarrow \mathbf{R}^2$ が单射であることを背理法で示す. $\gamma(a) = \gamma(b)$ となるような異なる $a, b \in [0, 2\pi]$ が存在すると仮定し, 必要ならばパラメータ t を平行移動して $0 \leq a < c_1$ と仮定してよい. この時, 次の (i), (ii), (iii) の場合が存在する.

(i) $a < b \leq c_1$ の場合

この時, $\gamma|_{[a,b]}$ は補題 4.2 の仮定を満たす. したがって $K(\gamma) > \pi$ が成り立つ. $a = 0, c_2 < b \leq 2\pi$ または $0 < a < c_1, c_2 < b \leq 2\pi$ の場合でも同様の方法で補題 4.2 より $K(\gamma) > \pi$ が成り立つ (図 4 -(i)) .

(ii) $0 < a < c_1$ かつ $c_1 < b < c_2$ の場合

$\gamma_1 = \gamma|_{[a,b]}, \gamma_2 = \gamma|_{[b,2\pi+a]}$ とし, $\varphi \in [0, \pi]$ を γ_1 の端点の成す角とする. この時, 補題 4.6 より $K(\gamma_1) > \varphi$ が成り立つ. 一方, γ_2 の端点の成す角も φ となるため, 補題 4.7 より $K(\gamma_2) \geq \pi - \varphi$ が成り立つ. よって, $K(\gamma) = K(\gamma_1) + K(\gamma_2) > \pi$ を得る. $0 < a < c_1$ かつ $c_2 < b < 2\pi$ の場合でも同様の方法で $K(\gamma) > \pi$ を示すことができる (図 4 -(ii)) .

(iii) $a = 0$ かつ $c_1 < b < c_2$ の場合

$\gamma_1 = \gamma|_{[a,b]}, \gamma_2 = \gamma|_{[b,2\pi]}$ とし, $\varphi \in [0, \pi]$ を γ_1 の端点の成す角とする. この時, 補題 4.6 より $K(\gamma_1) > \varphi$ が成り立つ. 一方, γ_2 の端点の成す角は $\pi - \varphi$ となるので, この時, 補題 4.6 より $K(\gamma_2) > \varphi$ が成り立つ. したがって, $K(\gamma) = K(\gamma_1) + K(\gamma_2) > \pi$ を得る. $0 < a < c_1$ かつ $b = c_2$ の場合でも同様の方法で $K(\gamma) > \pi$ を示すことができる (図 4 -(iii)) .

(i), (ii), (iii) の場合全てで $K(\gamma) > \pi$ が成り立つ. これは $K(\gamma) = \pi$ という仮定に矛盾する. したがって $N = 3$ ならば, γ は単純である.

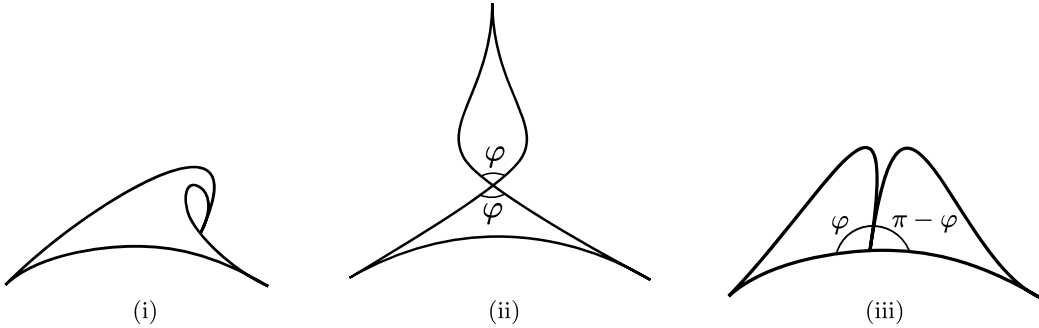
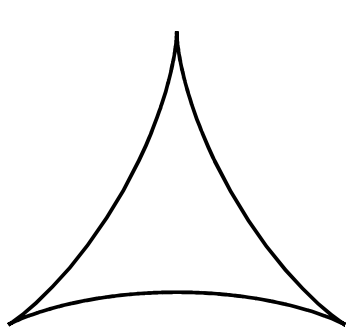


図 4: 自己交差を持つ曲線の図

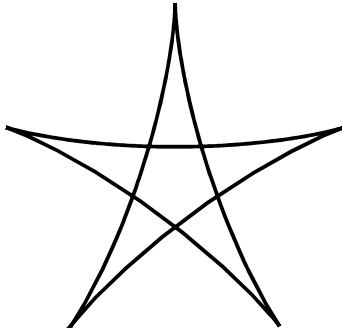
▷ (\Leftarrow) の場合

γ の内部領域に対して領域版ガウス・ボンネの公式を用いることで示すことができる. 詳しくは [3] を参照せよ.

Gounai-Umebara [9] は γ の特異点が全てカスプであり, locally strictly L -convex な閉波面, かつ自己交差が全て横断的であると仮定した場合, 定理 4.8 (2) が成り立つことを示している. ここで曲線 γ が locally strictly L -convex であるとは, $\tilde{\kappa}$ が 0 とならないことを指す. なお, locally strictly L -convex は [15] で定義されている ℓ -convex と同じ概念である (cf. [19]). そのため, 我々の定理 4.8 は Gounai-Umebara [9] の結果の一般化を与えており, より正確に, \mathbf{R}^2 の凸曲線 (変曲点をもたない単純閉曲線) Γ に対し, その焦点集合 C_Γ (つまり縮閉線の像) は特異点を持つ locally strictly L -convex な閉波面の像となる. Gounai-Umebara [9] は C_Γ の特異点が全てカスプであり, かつ自己交差が全て横断的であると仮定した場合, C_Γ が余向き付け不可能であることと Γ が定幅曲線であることは同値であることを示した. さらに Gounai-Umebara [9] は, C_Γ の特異点が 4 個以下の場合に, C_Γ の微分同相型を分類している.



3 個のカスプをもつ閉波面



5 個のカスプをもつ閉波面

図 5: $K(\gamma) = \pi$ となる曲線

5 今後の方針

本研究では、余向き付け不可能な閉波面に対して Fenchel 型定理を示した。とくに、全曲率の最小性、特異点の個数の評価と単純性との関係を明らかにした(定理 3.3, 4.8)。これまでの波面としての閉曲線の先行研究では余向き付け可能な場合のものが多かったが、本研究を通じて余向き付け不可能な閉波面の重要性が明らかになった。Fenchel の定理の一般化として Chern-Lashof の定理が知られている [16, 17]。したがって、フロンタルや波面に対する Chern-Lashof 型定理というものが考えられる。この場合でも余向き付け不可能ならば、全曲率が非自明な下限を持つのではないかと予想する。また、もし全曲率が非自明な下限を持つならば、最小全曲率を持つための必要十分条件に定義域となる多様体の位相的な性質が関連するのではないかと考えている。

参考文献

- [1] W. Fenchel, *Über Krümmung und Windung geschlossener Raumkurven*, Math. Ann. **101** (1929), 238–252.
- [2] A.A. Borisenko and K. Tenenblat, *On the total curvature of curves in a Minkowski space*, Isr. J. Math. **191** (2012), 755–769.
- [3] A. Honda, C. Tanaka and Y. Yamauchi, *The total absolute curvature of closed curves with singularities*, preprint (arXiv:2403.00487).
- [4] A. Sama-Ae and A. Phon-on, *Total curvature and some characterizations of closed curves in CAT(k) spaces*, Geom. Dedicata **199** (2019), 281–290.
- [5] E. Teufel, *On the total absolute curvature of closed curves in spheres*, Manuscr. Math. **57** (1986), 101–108.
- [6] E. Teufel, *The isoperimetric inequality and the total absolute curvature of closed curves in spheres*, Manuscr. Math. **75** (1992), 43–48.
- [7] F. Brickell and C.C. Hsiung, *The total absolute curvature of closed curves in Riemannian manifolds*, J. Differ. Geom. **9** (1974), 177–193.
- [8] H. Alencar, W. Santos and G. Silva Neto, *Differential geometry of plane curves*, Student Mathematical Library 96. Providence, RI: American Mathematical Society. xv, 416 p. (2022).
- [9] H. Goumai and M. Umehara, *Caustics of convex curves*, J. Knot Theory Ramifications **23** (2014), Article ID 1450050, 28 p.
- [10] H. Rutishauser and H. Samelson, *Sur le rayon d'une sphère dont la surface contient une courbe fermée*, C. R. Acad. Sci., Paris **227** (1948), 755–757.

- [11] I. Fáry, *Sur la courbure totale d'une courbe gauche faisant un nœud*, Bull. Soc. Math. Fr. **77** (1949), 128–138.
- [12] J. Milnor, *On the total curvature of knots*, Ann. Math. (2) **52** (1950), 248–257.
- [13] K. Enomoto, J. Itoh and R. Sinclair, *The total absolute curvature of open curves in E^3* , Ill. J. Math. **52** (2008), 47–76.
- [14] M. Borsuk, *Sur la courbure totale des courbes fermées*, Ann. Soc. Pol. Math. **20** (1948), 251–265.
- [15] M. Li and G. Wang, *ℓ -convex Legendre curves and geometric inequalities*, Calc. Var. Partial Differ. Equ. **62** (2023). Paper No.135, 24 p.
- [16] S. S. Chern and R. K. Lashof, *On the total curvature of immersed manifolds I*, Amer. J. Math. **79** (1957), 306–318.
- [17] S. S. Chern and R. K. Lashof, *On the total curvature of immersed manifolds II*, Michigan Math. J. **5** (1958), 5–12.
- [18] T. Fukunaga and M. Takahashi, *Existence and uniqueness for Legendre curves*, J. Geom. **104** (2013), 297–307.
- [19] T. Fukunaga and M. Takahashi, *On convexity of simple closed frontals*, Kodai Math. J. **39** (2016), 389–398.
- [20] Y. Tsukamoto, *On the total absolute curvature of closed curves in manifolds of negative curvature*, Math. Ann. **210** (1974), 313–319.

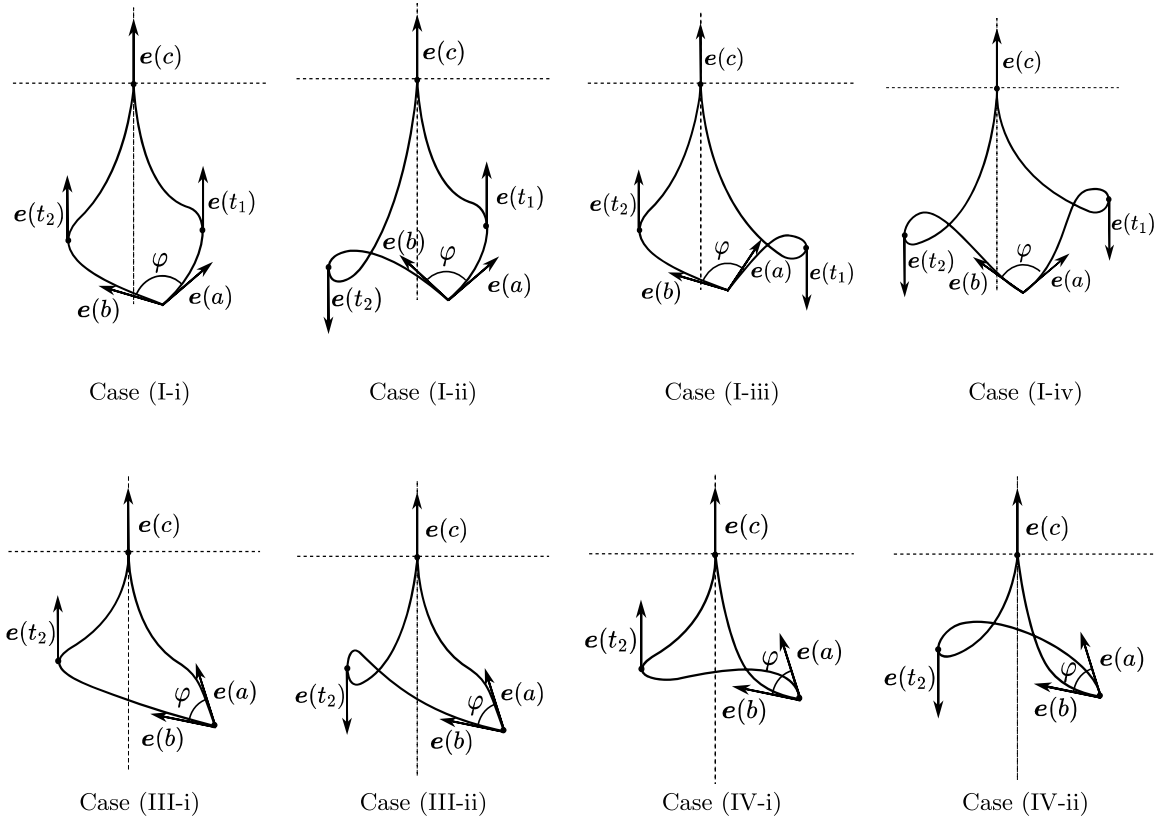


図 6: 高さ関数の臨界点で場合分けされた補題 4.6 の仮定を満たす閉フロンタル.

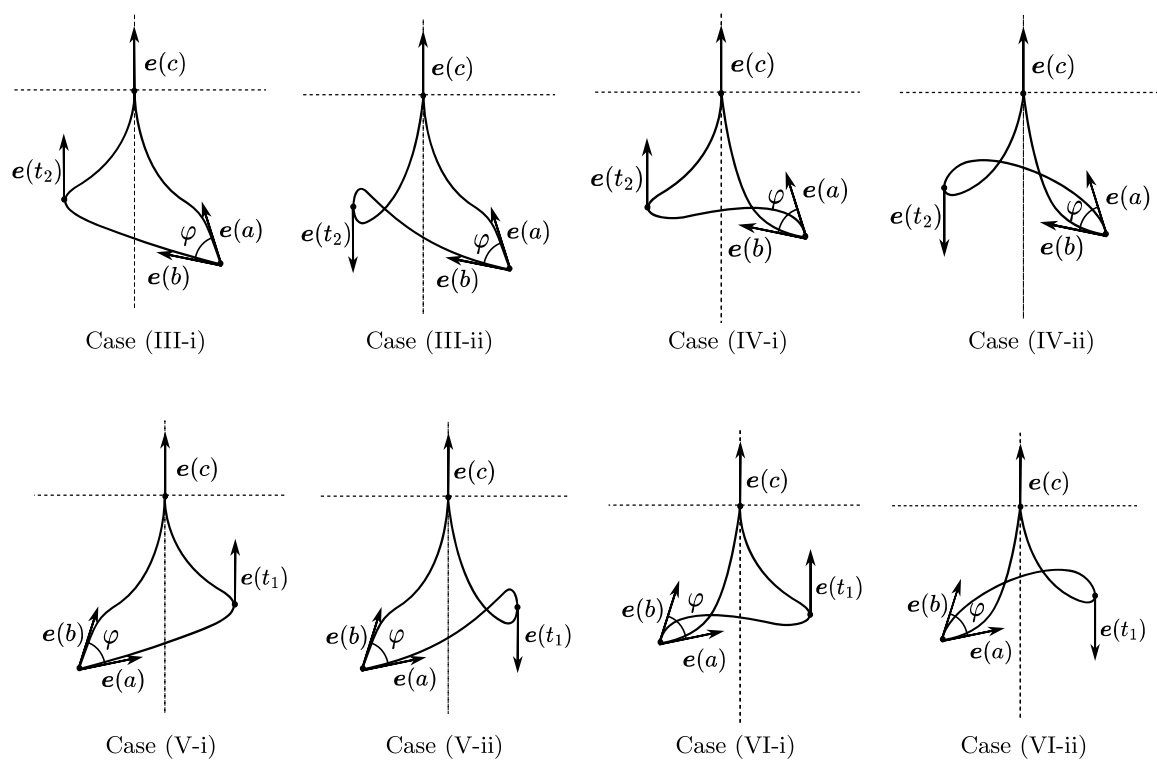


図 7: 高さ関数の臨界点で場合分けされた補題 4.6 の仮定を満たす閉フロンタル.